

# 1 Physikalische Grundlagen der NMR-Spektroskopie

## 1.1 Einführung

1946 gelang den beiden Arbeitsgruppen Bloch, Hansen und Packard sowie Purcell, Torrey und Pound unabhängig voneinander der erste Nachweis von Kernresonanz-Signalen. Für die Entdeckung wurden Bloch und Purcell 1952 gemeinsam mit dem Nobelpreis für Physik ausgezeichnet. Seitdem entwickelt sich die NMR-Spektroskopie (Nuclear Magnetic Resonance) zu einem für Chemiker, Biochemiker, Biologen, Physiker und neuerdings auch für Mediziner unentbehrlichen Werkzeug. Wie gerade die neuen Verfahren der letzten Jahre beweisen, ist die Entwicklung auch nach über 40 Jahren noch längst nicht abgeschlossen.

Dieses Buch will eine Antwort darauf geben, weshalb die NMR-Spektroskopie speziell für den Chemiker zur (vielleicht) wichtigsten spektroskopischen Methode wurde.

Hauptanwendungsbereich der NMR-Spektroskopie ist die Strukturaufklärung von Molekülen. Um die entsprechenden Informationen zu gewinnen, mußt, analysiert und interpretiert man hochauflöste NMR-Spektren, die von niederviskosen Flüssigkeiten aufgenommen wurden. Wir beschränken uns im folgenden auf diese sogenannte *hochauflösende* NMR-Spektroskopie. Untersuchungen an Festkörpern sind zwar ebenfalls möglich, doch erfordert sie völlig andere Aufnahmetechniken und zum Teil eine andere Interpretation.

Unser Hauptinteresse gilt vor allem Protonen ( $^1\text{H}$ ) und Kohlenstoffketten ( $^{13}\text{C}$ ), da deren Resonanzen für die Strukturaufklärung organischer Moleküle am wichtigsten sind. Beispiele für  $^{31}\text{P}$ -NMR-Spektren begegnen uns im Kapitel über *in vivo*-Untersuchungen. Aber auch die Aufnahme von NMR-Signalen anderer Kerne, die wir im Rahmen dieses Buches nicht behandeln werden, stellt heute kein Problem mehr dar.

Zum Verständnis der NMR-Spektroskopie müssen wir zunächst lernen, wie sich Kerne mit einem Kerndrehimpuls  $P$  und einem magnetischen Moment  $\mu$  in einem statischen Magnetfeld verhalten. Im Anschluß werden wir das NMR-Experiment, die verschiedenen Meßmethoden und die spektralen Parameter diskutieren.

## 1.2 Kerndrehimpuls und magnetisches Moment

Die meisten Kerne haben einen Kern- oder Eigendrehimpuls  $P$ . In der klassischen Vorstellungswiese rotiert der kugelförmig angenommene Atomkern um eine Kernachse. Quantenmechanische Rechnungen zeigen, daß dieser Drehimpuls wie so viele atomare Größen gekennzeichnet ist:

$$P = \sqrt{I(I+1)} \hbar \quad (1-1)$$

Hierbei ist  $\hbar$  das Plancksche Wirkungsquantum ( $= 6,6256 \cdot 10^{-34} \text{ Js}$ ;  $\hbar = h/2\pi$ ) und  $I$  die Drehimpuls- oder Kernspindiquantenzahl, vereinfacht als Kernspin bezeichnet. Der Kernspin kann die Werte  $I = 0, 1/2, 1, 3/2, 2, \dots$ , bis 6 annehmen (siehe auch Tab. 1-1). Weder die Werte von  $P$  noch von  $P$  lassen sich bis jetzt theoretisch voraussagen.

Tabelle 1-1.

Kernspin, natürliche Häufigkeit, Meßfrequenz und gyromagnetisches Verhältnis  $\gamma^*$ , einger für die NMR-Spektroskopie wichtiger Kerne.

Kern-Isotop	Spin $I$	naturliche Häufigkeit [%]	NMR-Frequenz [ $\text{MHz}$ ] ( $B_0 = 2,3488 \text{ T}$ )	Gyromagnetisches Verhältnis $\gamma^*$ [ $10^7 \text{ rad T}^{-1} \text{ s}^{-1}$ ]
$^1\text{H}$	1/2	99,98	100.000	26,7519
$^2\text{H}$	1	0,016	15,351	4,1066
$^{1\text{H}}\text{D}$	1/2	—	106,663	28,535
$^{1\text{H}}\text{T}$	3	19,58	10,746	2,8746
$^{1\text{H}}\text{O}$	3/2	80,42	32,084	8,5843
$^{12}\text{C}$	0	98,9	—	—
$^{13}\text{C}$	1/2	1,108	25,144	6,7283
$^{14}\text{N}$	1	99,63	7,224	1,9338
$^{15}\text{N}$	1/2	0,37	10,133	— 2,7112
$^{16}\text{O}$	0	99,96	—	—
$^{17}\text{O}$	5/2	0,037	13,557	— 3,6279
$^{19}\text{F}$	1/2	100	94,077	25,181
$^{29}\text{Si}$	1/2	4,70	19,865	— 5,3188
$^{31}\text{P}$	1/2	100	40,481	10,841

\*  $\gamma^*$ -Werte aus [1].  $^{1\text{H}}$  ist radioaktiv.

Mit dem Drehimpuls  $P$  ist ein magnetisches Moment  $\mu$  verknüpft. Beides sind vektorielle Größen, die einander proportional sind:

$$\mu = \gamma P \quad (1-2)$$

$\gamma$ , die Proportionalitätskonstante, ist für jedes Isotop der verschiedenen Elemente eine charakteristische Konstante und heißt gyromagnetisches oder auch magnetooptisches Verhältnis. Von  $\gamma$  hängt die Nachweisempfindlichkeit eines Kernes im NMR-Experiment ab: Kerne mit großem  $\gamma$  werden als empfindlich, solche mit kleinem  $\gamma$  als unempfindlich bezeichnet.

Mit den Gleichungen (1-1) und (1-2) erhält man für das magnetische Moment  $\mu$ :

$$\mu = \gamma \sqrt{I(I+1)} \hbar \quad (1-3)$$

Kerne mit dem Kernspin  $I = 0$  haben folglich kein magnetisches Kernmoment. Für unsere Betrachtungen ist besonders wichtig, daß das Kohlenstoff-Isotop  $^{12}\text{C}$  und das Sauerstoff-Isotop  $^{16}\text{O}$  zu diesen Kernen gehören – das heißt, die Hauptbausteine organischer Verbindungen sind NMR-spektroskopisch nicht nachweisbar.

Für die meisten Kerne zeigen Kerndrehimpulsvektor  $P$  und magnetisches Moment  $\mu$  in die gleiche Richtung, sie sind parallel. In einigen Fällen, beispielsweise bei  $^{15}\text{N}$  und  $^{29}\text{Si}$  (und auch beim Elektron!), stehen sie jedoch antiparallel. Auf die Folgen dieser Tatsache werden wir im Kapitel 10 eingehen.

## 1.3 Kerne im statischen Magnetfeld

### 1.3.1 Richtungsquantelung

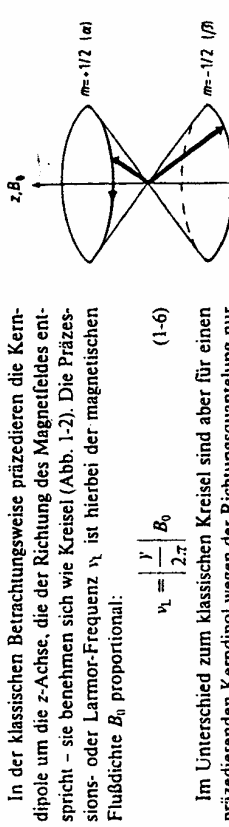
Wird ein Kern mit dem Drehimpuls  $P$  und dem magnetischen Moment  $\mu$  in ein statisches Magnetfeld  $B_0$  gebracht, orientiert sich der Drehimpuls im Raum so, daß seine Komponente in Feldrichtung,  $P_z$ , ein ganz- oder halbzahliges Vielfaches von  $\hbar$  ist:

$$P_z = m \hbar \quad (1-4)$$

$m$  ist die magnetische Quantenzahl oder Orientierungsquantenzahl und kann folgende Werte annehmen:  $m = I, -I, \dots, -I$ .

Wie sich leicht abzählen läßt, gibt es  $(2I + 1)$  verschiedene  $m$ -Werte und somit entsprechend viele Einstellmöglichkeiten von Drehimpuls und magnetischem Moment im Magnetfeld. Man bezeichnet dieses Verhalten der Kerne im Magnetfeld als **Richtungsquantelung**. Für Protonen und  $^{13}\text{C}$ -Kerne mit  $I = 1/2$  ergeben sich zwei  $m$ -Werte ( $+1/2$  und  $-1/2$ ); für Kerne mit  $I = 1$ , wie bei  $^2\text{H}$  und  $^{15}\text{N}$ , dagegen drei ( $m = +1, 0$  und  $-1$  (Abb. 1-1)). Mit den Gleichungen (1-2) und (1-4) erhält man die Komponenten des magnetischen Moments im Feldrichtung  $z$ :

$$\mu_z = m \gamma \hbar \quad (1-5)$$



In der klassischen Betrachtungsweise präzidieren die Kerndipole um die  $z$ -Achse, die der Richtung des Magnetfeldes entspricht – sie benehmen sich wie Kreise! (Abb. 1-2). Die Präzisions- oder Larmor-Frequenz  $\nu$  ist hierbei der magnetischen Flußdichte  $B_0$  proportional:

$$\nu_l = \frac{\gamma}{2\pi} B_0 \quad (1-6)$$

Im Unterschied zum klassischen Kreisel sind aber für einen präzidierenden Kerndipol wegen der Richtungsquantelung nur bestimmte Winkel erlaubt. Für das Proton mit  $I = 1/2$  beträgt dieser Winkel beispielweise  $54^\circ 44'$ .

### 1.3.2 Energie der Kerne im Magnetfeld

Die Energie eines magnetischen Dipols in einem Magnetfeld der magnetischen Flußdichte  $B_0$  beträgt

$$E = -\mu_z B_0 \quad (1-7)$$

Damit ergeben sich für einen Kern mit  $(2I + 1)$  Orientierungsmöglichkeiten auch  $(2I + 1)$  Energiezustände, die sogenannten Kern-Zeeeman-Niveaus. Aus Gleichung (1-5) folgt:

$$E = -m \gamma \hbar B_0 \quad (1-8)$$

Für das Proton und den  $^{13}\text{C}$ -Kern – für beide ist  $I = 1/2$  – erhält man im Magnetfeld entsprechend der beiden  $m$ -Werte  $+1/2$  und  $-1/2$  zwei Energiewerte. Ist  $m = +1/2$ , steht  $\mu_z$  parallel zur Feldrichtung, wobei dies der energetisch günstigsten Anordnung entspricht; bei  $m = -1/2$  steht  $\mu_z$  dagegen antiparallel. In der Quantenmechanik wird der Zustand  $m = +1/2$  durch die hier nicht näher spezifizierte Spinfunktion  $\alpha$  beschrieben, der Zustand  $m = -1/2$  durch die Spinfunktion  $\beta$ .

Für Kerne mit  $I = 1$  wie  $^2\text{H}$  und  $^{15}\text{N}$  gibt es drei  $m$ -Werte (+1, 0 und -1) und folglich drei Energieniveaus (Abb. 1-3).

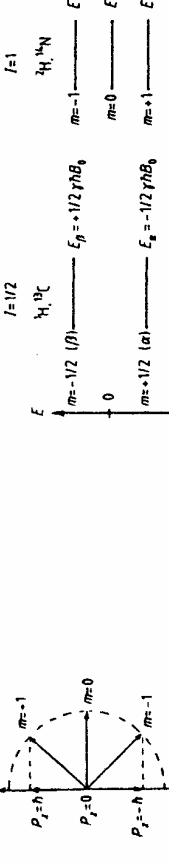


Abbildung 1-3.  
Energieniveauschemata für  
Kerne mit  $I = 1/2$  (links) und mit  
 $I = 1$  (rechts).

Der Energieunterschied zweier benachbarter Energieniveaus beträgt:

$$\Delta E = \gamma \hbar B_0 \quad (1-9)$$

In der klassischen Betrachtungsweise präzidieren die Kerndipole um die  $z$ -Achse, die der Richtung des Magnetfeldes entspricht – sie benehmen sich wie Kreise! (Abb. 1-2). Die Präzisions- oder Larmor-Frequenz  $\nu$  ist hierbei der magnetischen Flußdichte  $B_0$  proportional:

Abbildung 1-2.

Doppelpräzessionswinkel für Kerne mit dem Kernspin  $I = 1/2$ ; die halbe Öffnungswinkel des Kreisels beträgt  $54^\circ 44'$ .

Abbildung 1-2.  
Doppelpräzessionswinkel für Kerne mit dem Kernspin  $I = 1/2$ ; die halbe Öffnungswinkel des Kreisels beträgt  $54^\circ 44'$ .

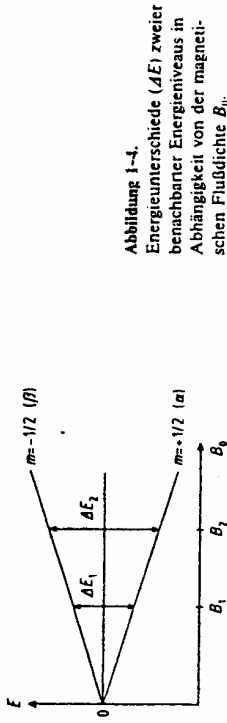


Abbildung 1-4.  
Energieunterschiede ( $\Delta E$ ) zweier benachbarter Energieniveaus in Abhängigkeit von der magnetischen Flussdichte  $B_1$ .

Im klassischen Bild präzessieren die Kerne mit  $I = 1/2$  ( $^1\text{H}$  und  $^{13}\text{C}$ ) auf einem Doppelpräzessionskegel um die Feldrichtung  $z$  (Abb. 1-5). Summiert man die  $z$ -Komponenten aller magnetischen Kermmomente einer Probe, so ergibt sich eine makroskopische Magnetisierung  $M_0$  in Feldrichtung, da  $N_a$  größer als  $N_b$  ist.  $M_0$  spielt bei der Beschreibung aller Impuls-Experimente eine wichtige Rolle.

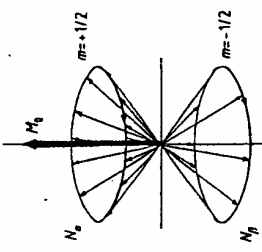


Abbildung 1-5.  
Verteilung von  $N (= N_a + N_b)$  Kernen auf dem Doppelpräzessionskegel. Da  $N_a > N_b$ , resultiert eine makroskopische Magnetisierung  $M_0$ .

## 1.4 Grundlagen des Kernresonanz-Experimentes

### 1.4.3 Besetzung der Energieniveaus

Wie verteilen sich die Kerne in einer makroskopischen Probe (dem NMR-Probenröhre) im thermischen Gleichgewicht auf die verschiedenen Energiezustände? Hierüber gibt die Boltzmann-Statistik Auskunft. Für Kerne mit  $I = 1/2$  sei  $N_b$  die Zahl der Kerne im energiereicheren Niveau,  $N_a$  die der Kerne im energetärmeren Niveau, dann ist:

$$\frac{N_b}{N_a} = e^{-\Delta E/k_B T} \approx 1 - \frac{\Delta E}{k_B T} = 1 - \frac{\gamma \hbar B_0}{k_B T} \quad (1-10)$$

$k_B$  = Boltzmann-Konstante =  $1,3805 \cdot 10^{-23} \text{ J K}^{-1}$   
 $T$  = absolute Temperatur in K

Da für Protonen – und auch für alle anderen Kerne – der Energieunterschied  $\Delta E$  sehr klein ist im Vergleich zur mittleren Energie der Wärmebewegung ( $k_B T$ ), sind die meisten Niveaus nahezu gleichbesetzt. Der Überschuss im energetärmeren Niveau liegt nur im Bereich von tausendstel Promille (ppm).

#### Zahlenbeispiel für Protonen:

- Bei einer magnetischen Flussdichte von  $B_0 = 1,41 \text{ T}$  (Meßfrequenz 60 MHz) beträgt der Energieunterschied  $\Delta E$  nach Gleichung (1-9):  $\Delta E \approx 2,4 \cdot 10^{-1} \text{ J mol}^{-1}$  (oder  $\approx 0,6 \cdot 10^{-1} \text{ cal mol}^{-1}$ ).
- Den für die Berechnung erforderlichen  $\gamma$ -Wert entnehmen wir Tabelle 1-1, oder wir berechnen ihn im Vorgeft auf Abschnitt 1.4.1 nach Gleichung (1-12).

Damit ergibt sich für eine Temperatur von 300 K:

$$N_b \approx 0,999904 N_a \\ N_b \approx 0,99995 N_a$$

Bei  $B_0 = 7,05 \text{ T}$  (Meßfrequenz 300 MHz), ist der Unterschied größer:

Im Kernresonanz-Experiment werden Übergänge zwischen verschiedenen Energieniveaus induziert, indem die Kerne mit einem Zusatzfeld  $B_1$  der richtigen Energie, das heißt, mit einer elektromagnetischen Welle der richtigen Frequenz  $\nu_1$ , bestrahlt werden. Dabei tritt die magnetische Komponente der Welle mit den Kerndipolen in Wechselwirkung.

Beachten wir die Protonen einer Chloroformlösung ( $\text{CHCl}_3$ ). Für diesen Fall gilt das linke Energieniveauschema in Abbildung 1-3. Übergänge zwischen den Niveaus sind möglich, wenn die Frequenz  $\nu_1$  so gewählt ist, daß Gleichung (1-11) erfüllt ist

$$\hbar \nu_1 = \Delta E \quad (1-11)$$

Die Übergänge vom energetärmeren ins energetiereichere Niveau entsprechen einer Energieabsorption, umgekehrte einer Energieemission. Beide sind möglich und auch gleich wahrscheinlich. Jeder Übergang ist mit einer Umkehr der Kernspin-Orientierung verbunden. Wegen des Besetzungstüberschlusses im energetärmeren Niveau überwiegt die Energieabsorption aus dem eingestrahlten Zusatzfeld. Dies wird als Signal gemessen, wobei die Intensität dem Besetzungsdifferenz  $N_a - N_b$  proportional ist und damit auch proportional der Gesamtzahl der Spins in der Probe, also der Konzentration. Bei Gleichbesetzung ( $N_a = N_b$ ) kompensieren sich Absorption und Emission, und ein Signal ist nicht zu beobachten. Dieser Fall wird als *Sättigung* bezeichnet.

Aus den Gleichungen (1-9) und (1-11) folgt die *Resonanzbedingung*:

$$\nu_L = \nu_1 = \left| \frac{y}{2\pi} \right| B_0 \quad (1-12)$$

Der Ausdruck Resonanz ist auf die klassische Deutung des Phänomens zurückzuführen, denn Übergänge erfolgen nur dann, wenn die Frequenz der eingeschalteten elektromagnetischen Welle  $\nu_1$  und die Larmor-Frequenz  $\nu_L$  übereinstimmen. Bis jetzt betrachteten wir Kerne mit  $J = 1/2$ , für die es nur zwei Energieniveaus gibt. Welche Übergänge sind aber erlaubt, wenn mehr als zwei solcher Niveaus vorhanden sind wie bei Kernen mit  $J \geq 1$  (Abb. 1-3, rechtes Schema) und den noch zu beschreibenden gekoppelten Spinsystemen mit mehreren Kernen? Die Antwort liefert die Quantenmechanik: Erlaubt sind nur Übergänge, bei denen sich die magnetische Quantenzahl  $m$  um 1 ändert; man spricht daher auch von Einquantenübergängen.

$$\Delta m = \pm 1 \quad (1-13)$$

Übergänge finden demzufolge ausschließlich zwischen benachbarten Energieniveaus statt. Nach dieser Auswahlregel ist der Übergang eines  $^{14}\text{N}$ -Kernes von  $m = +1$  nach  $m = -1$  verboten.

Obwohl wir gekoppelte Spinsysteme erst später behandeln werden, sei schon darauf hingewiesen, daß ein gleichzeitiges Umklappen zweier oder mehrerer Spins verboten ist. Zum Beispiel wären bei einem Zweispinsystem neben den Einquantenübergängen zwei weitere Übergangsmöglichkeiten denkbar: Die Kerne befinden sich beide im  $\alpha$ -Zustand ( $m = +1/2$ ) und gehen gleichzeitig in den  $\beta$ -Zustand ( $m = -1/2$ ) über. Ein solcher Übergang wäre ein Doppelquantenübergang, da sich die Summe der magnetischen Quantenzahlen  $m$  um zwei ändert ( $\Delta m = 2$ ). Oder aber ein Kern wechselt vom  $\alpha$ - in den  $\beta$ -Zustand, während gleichzeitig der andere vom  $\beta$ - in den  $\alpha$ -Zustand übergeht. Hier wäre  $\Delta m = 0$ , und der Übergang entspräche einem Nullquantenübergang. Nach Gleichung (1-13) sind derartige Doppel- und Nullquantenübergänge jedoch verboten.

#### 1.4.2 CW-Spektrometer

Abbildung 1-6 zeigt den schematischen Aufbau eines einfachen NMR-Spektrometers, wie es im Prinzip schon von Bloch benutzt wurde. Es besteht aus einem Magneten (b), einem Sender (e) zur Erzeugung der Resonanzfrequenz und einem Empfänger (d) zum Nachweis der Resonanzsignale. Sender- und Empfängerspule sind senkrecht zueinander und senkrecht zur Magnetfeldrichtung  $z$  angeordnet. In der Substanzprobe (a) werden dann Übergänge induziert, wenn die Resonanzbedingung,

Gleichung (1-12), erfüllt ist. Dies ist technisch auf zweierlei Weise zu erreichen. Entweder man verändert

- die magnetische Flussdichte  $B_0$  über Sweep-Spulen (c) bei konstanter Senderfrequenz  $\nu_1$
  - oder die Senderfrequenz  $\nu_1$  bei konstantem  $B_0$ .
- Beide Verfahren, das *Field-Sweep-* und das *Frequenz-Sweep-Verfahren*, sind in der Praxis verwirklicht.

Im Resonanzfall wird in der Empfängerspule (d) ein Signal induziert, das nach Verstärkung (f) auf einem Schreiber (h) registriert oder auf einem Oszilloskop (g) sichtbar gemacht wird. Bei beiden Verfahren wird das Spektrum Punkt für Punkt aufgezeichnet, während  $B_0$  oder  $\nu_1$  kontinuierlich verändert werden. Im Angelsächsischen heißt das Verfahren daher *Continuous Wave* – kurz CW-Verfahren.

Nach diesem Prinzip arbeiteten bis ungefähr 1970 alle Geräte.

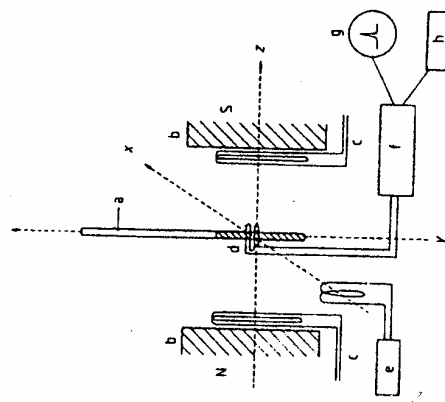


Abbildung 1-6.  
Schematischer Aufbau eines  
NMR-Spektrometers, das nach  
dem Continuous Wave(CW)-  
Verfahren arbeitet.  
a Substanzprobe; b Magnet;  
c Sweep-Spulen; d Empfänger;  
e Sender; f Verstärker; g Oszillo-  
skop; h Schreiber.

NMR-Spektrometer sind aufwendige Meßinstrumente, denn sowohl an Homogenität und Stabilität des Magneten als auch an die Elektronik werden hohe Anforderungen gestellt.

In der Praxis werden Magnete mit magnetischen Flussdichten von  $1,11$  bis  $1,409$  T verwendet. Dies entspricht nach Gleichung (1-12) Meßfrequenzen von 60 bis 600 MHz für Protonen. In Tabelle 1-2 sind magnetische Flussdichten  $B_0$  und Meßfrequenzen für einige der in der  $^1\text{H}$ - und  $^{13}\text{C}$ -NMR-Spektroskopie eingesetzten Spektrometer angegeben.

Bis zu einer magnetischen Flussdichte von  $2,1$  T werden die stationären Magnetfelder durch Dauer- oder Elektromagnete erzeugt,  $2,35$  T ausschließlich durch Elektromagnete. Höhere magnetische Flussdichten erreicht man nur noch mit Kryoma-

„Vorläufern“ genannt) sich gut zum messen der Spektren von empfindlichen Kernen, wie  $^1\text{H}$ ,  $^{19}\text{F}$  und  $^{31}\text{P}$ . Kerne mit  $I = 1/2$ , großem magnetischen Moment und zudem hoher natürlicher Häufigkeit. Ein routinemäßiges Messen von unempfindlichen Kernen und von solchen mit geringer natürlicher Häufigkeit, beispielsweise  $^{13}\text{C}$ , aber auch von sehr verdünnten Lösungen war zunächst ausgeschlossen. Um dies zu ermöglichen, mußten neue Geräte und Methoden entwickelt werden.

Auf Seiten der Geräte ist vor allem der Einsatz von Kryomagneten zu nennen, mit denen wesentlich höhere Magnetfeldstärken und damit auch größere Empfindlichkeiten erreicht werden als mit Permanent- und Elektromagneten. Der entscheidende Fortschritt wurde jedoch durch die *Impuls-Spektroskopie* erreicht, deren Entwicklung mit dem stürmischen Fortschritt in der Computertechnik eng gekoppelt ist. Dieses Verfahren wird im folgenden Abschnitt ausführlich besprochen, da es die Grundlage der modernen NMR-Spektroskopie ist.

## 1.5 Impuls-Verfahren

### 1.5.1 Impuls

Beim Impuls-Verfahren werden in der Meßprobe durch einen Hochfrequenzimpuls gleichzeitig alle Kerne einer Sorte angeregt, zum Beispiel sämtliche Protonen oder  $^{13}\text{C}$ -Kerne. Was versteht man unter einem solchen Impuls, und wie erzeugt man ihn?

Ein Hochfrequenz-Generator arbeitet normalerweise bei einer festen Frequenz  $\nu_i$ . Wird er aber nur für eine kurze Zeit  $t_p$  eingeschaltet, erhält man einen Impuls, der nicht nur die Frequenz  $\nu_i$  enthält, sondern ein kontinuierliches Frequenzband, das symmetrisch zur Frequenz  $\nu_i$  liegt. Für die Anregung der Übergänge ist jedoch nur ein Teil des Frequenzbandes verwertbar, und dieser Teil ist in etwa  $r_p$  proportional. (Die mathematische Ableitung dafür ist in den Lehrbüchern der Mathematik zu finden (zum Beispiel in [2]).) Bei NMR-Experimenten liegt die *Impulslänge*  $r_p$  in der Größenordnung von einigen  $\mu\text{s}$  (Abb. 1-7).

Die Wahl der Generatorfrequenz  $\nu_i$  ist durch  $B_0$  und die zu untersuchende Kern-Sorte bestimmt. Um beispielsweise bei  $B_0 = 1,41 \text{ T}$  Protonenübergänge nachweisen zu können, muß die Generatorfrequenz 60 MHz betragen, zum Nachweis der  $^{13}\text{C}$ -Resonanz muß die Frequenz bei 15,1 MHz liegen. Welche Impulslängen für das Experiment notwendig sind, hängt von der Spulenanzahl ab. So ist das Frequenzband ungefähr 10<sup>5</sup> Hz breit, wenn  $r_p = 10^{-5} \text{ s}$  beträgt. Ist  $\nu_i$  richtig gewählt, sind in die-

Resonanzfrequenzen in der  $^1\text{H}$ - und  $^{13}\text{C}$ -NMR-Spektroskopie bei verschiedenen magnetischen Flussdichten  $B_0$ .

$B_0$ [T]	Resonanzfrequenzen [MHz]
1,41	$^1\text{H}$
1,88	$^1\text{H}$
2,11	$^1\text{H}$
2,35	$^1\text{H}$
4,70	$^1\text{H}$
5,87	$^1\text{H}$
7,05	$^1\text{H}$
9,40	$^1\text{H}$
11,74	$^1\text{H}$
14,09	$^1\text{H}$
1,41	$^{13}\text{C}$
1,88	$^{13}\text{C}$
2,11	$^{13}\text{C}$
2,35	$^{13}\text{C}$
4,70	$^{13}\text{C}$
5,87	$^{13}\text{C}$
7,05	$^{13}\text{C}$
9,40	$^{13}\text{C}$
11,74	$^{13}\text{C}$
14,09	$^{13}\text{C}$

ten (Abb. 1-8). Die Amplitude in den Frequenzkomponenten eines Impulses nehmen mit dem Abstand von  $\nu_i$  ab. Im Experiment sollen jedoch alle Kerne – in Abbildung 1-8 sind dies  $\nu_A$  und  $\nu_B$  – möglichst gleich angeregt werden (siehe Abschnitt 1.6.3). Daher wählt man die Impulslänge immer so, daß das Frequenzband ein bis zwei Zehnerpotenzen größer ist als die interessierende Spektrenbreite.

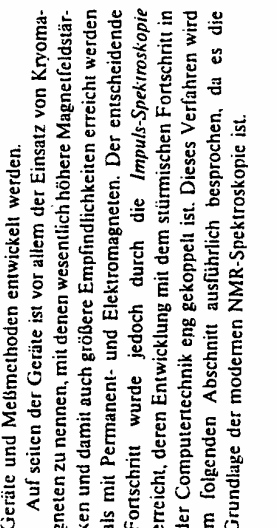


Abbildung 1-8.

Die Amplitude in den Frequenzkomponenten eines Impulses nehmen mit dem Abstand von  $\nu_i$  ab. Im Experiment sollen jedoch alle Kerne – in Abbildung 1-8 sind dies  $\nu_A$  und  $\nu_B$  – möglichst gleich angeregt werden (siehe Abschnitt 1.6.3). Daher wählt man die Impulslänge immer so, daß das Frequenzband ein bis zwei Zehnerpotenzen größer ist als die interessierende Spektrenbreite.

### 1.5.2 Klassische Beschreibung des Impuls-Experiments

Betrachten wir den einfachsten Fall: eine Probe mit nur einer Kernsorte  $i$ , zum Beispiel die Protonen einer Chloroformlösung ( $\text{CHCl}_3$ ). Wie in Abbildung 1-5 gezeigt, präzidieren die Kernmomente mit der Larmor-Frequenz  $\nu_i$  auf der Oberfläche eines Doppelkegels.  $M_0$  ist die makroskopische Magnetisierung in Feldrichtung. Im NMR-Experiment wirkt der Impuls in  $x$ -Richtung auf die Substanzprobe. Der magnetische Vektor dieser in  $x$ -Richtung mit der Frequenz  $\nu_i$  oszillierenden elektromagnetischen Welle tritt in Wechselwirkung mit  $M_0$ . Dabei wird  $M_0$  in der zur Einstrahlrichtung  $x$  senkrecht stehenden  $z_0$ -Ebene um den Winkel  $\Theta$  gedreht. Gemäß Gleichung (1-14) ist die Auslenkung um so größer, je höher die Amplitude  $B_p$  der Frequenzkomponente  $\nu_i$  des Impulses ist und je länger der Impuls wirkt.

$$\Theta = \gamma B_p t_p \quad (1-14)$$

Der Winkel  $\Theta$  heißt *Impulswinkel*. Zum Verständnis der meisten Impuls-Verfahren sind zwei Spezialfälle von Bedeutung: Experimente mit den Impulswinkeln 90° und 180°. In Abbildung 1-9 sind die Magnetisierungsvektoren  $M_0$  nach 90°- und 180°-Impulsen sowie für einen beliebigen Impulswinkel  $\Theta$  aufgezeichnet.

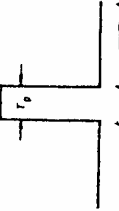
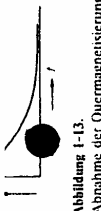


Abbildung 1-9.  
Richtung des makroskopischen Magnetisierungsvektors  $M_0$ :  
a) nach einem beliebigen Impuls;  
b) nach einem 90°-Impuls; c) nach einem 180°-Impuls.  
Einstrahlrichtung ist die  $x$ -Achse.

der  $\nu$ -Achse überestimmt. Folglich ist  $M_0 = M_\nu = M_f$ . Da  $\nu'$  jetzt aber ebenfalls mit der Larmor-Frequenz der Kerne rotiert, bleibt die Quermagnetisierung in  $\nu'$ -Richtung konstant, das heißt, ihr Beitrag nimmt im Laufe der Zeit nur um den Anteil ab, der durch Relaxation verloren geht. Dies erfolgt nach Gleichung (1-16) exponentiell (Abb. 1-13), wobei die transversale Relaxationszeit  $T_2$  die Geschwindigkeit dieser Abnahme bestimmt.

Wir werden in den Kapiteln 8 und 9 bei der Besprechung von ein- und zweidimensionalen Impuls-Techniken auf die Bewertung der Vektoren im feststehenden und rotierenden Kordinatenystem ausführlich zurückkommen. Das Phänomen Relaxation behandeln wir in Kapitel 7.

**Abbildung 1-13.**  
Abnahme der Quermagnetisierung  $M_\nu$  durch Spin-Spin-Relaxation in Abhängigkeit von der Zeit.

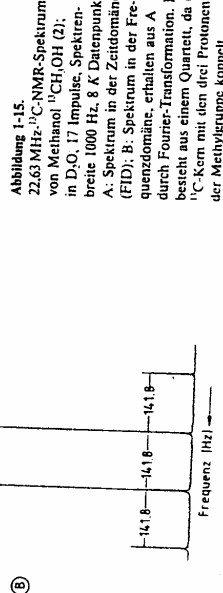
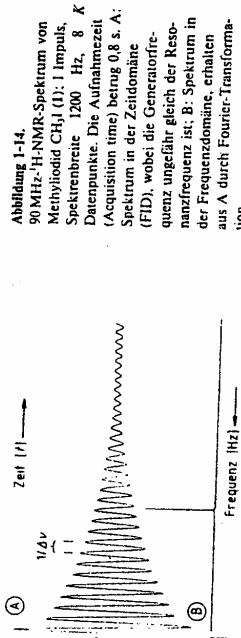


Die Theorie der FT, die Programmierung des für die Berechnung der FT notwendigen Computers und andere technische Einzelheiten sind in der Spezialliteratur [3-6] nachzulesen.

### 1.5.2.3 Zeit- und Frequenzdomäne

Eine Abklingkurve, wie sie in Abbildung 1-13 gezeigt ist, wird normalerweise nicht gemessen. Aufgrund des Meßverfahrens erhält man diese nur, wenn zufällig Generatorfrequenz  $\nu_1$  und Resonanzfrequenz  $\nu$  der beobachteten Kerne übereinstimmen. Im Empfänger wird vielmehr eine Kurve beobachtet, wie sie in Abbildung 1-14 A für  $\text{CH}_3$  (1) wiedergegeben ist. Dabei stimmt die Umliegende mit der in Abbildung 1-13 gezeichneten Kurve überein. In diesem Beispiel mit nur einer Resonanzfrequenz für die drei äquivalenten Protonen der Methygruppe entspricht der Abstand zweier Maxima dem reziproken Frequenzabstand zwischen  $\nu_1$  und der Resonanzfrequenz  $\nu$  der Kerne 1 : 1/3. Die im Empfänger registrierte Abnahme der Quermagnetisierung heißt freier Induktionsabfall – im angelsächsischen Free Induction Decay oder kurz FID genannt.

Enthält eine Probe Kerne mit verschiedenen Resonanzfrequenzen oder besteht das Spektrum aus einem Multiplet infolge von Spin-Spin-Kopplung (siehe Abschnitt 1.6), so überlagern sich die Abklingkurven der Quermagnetisierungen, sie interferieren. Abbildung 1-15 A zeigt ein derartiges Interferogramm für das  $^{13}\text{C}$ -NMR-Spektrum von  $^{13}\text{CH}_3\text{OH}$  (2). Das Interferogramm, der FID, enthält sowohl die uns interessierenden Resonanzfrequenzen als auch die Intensitäten. Wir können das Interferogramm jedoch nicht direkt analysieren, da wir gewohnt sind, ein Spektrum in der Frequenzdomäne und nicht in der Zeitdomäne zu interpretieren. Beide Spektren lassen sich aber durch eine mathematische Operation, die Fourier-Transformation (FT), ineinander umrechnen. Die Abbildungen 1-14 B und 1-15 B zeigen die nach der FT erhaltenen Frequenzspektren: Für Methyloid besteht dieses aus einem Singulett, für  $^{13}\text{CH}_3\text{OH}$  aus einem



**Abbildung 1-14.**  
90 MHz  $^1\text{H}$ -NMR-Spektrum von Methyloid  $\text{CH}_3$  (1); 1 Impuls, Spektrubreite 1200 Hz, 8 K Datenpunkte. Die Aufnahmzeit (Acquisition time) betrug 0,8 s. A: Spektrum in der Zeitdomäne (FID), wobei die Generatorfrequenz ungefähr gleich der Resonanzfrequenz ist; B: Spektrum in der Frequenzdomäne, erhalten aus A durch Fourier-Transformation.

**Abbildung 1-15.**  
22.63 MHz  $^{13}\text{C}$ -NMR-Spektrum von Methanol  $^{13}\text{CH}_3\text{OH}$  (2); 1 Impuls, Spektrubreite 1000 Hz, 8 K Datenpunkte. A: Spektrum in der Zeitdomäne (FID); B: Spektrum in der Frequenzdomäne, erhalten aus A durch Fourier-Transformation. Es besteht aus einem Quartett, da der  $^{13}\text{C}$ -Kern mit den drei Protonen der Methygruppe koppelt.

Man erkennt aus diesen Vektordiagrammen: Die Quermagnetisierung  $M_r$  ist direkt nach einem  $90^\circ$ -Impuls am größten, sie ist Null für  $\theta = 0^\circ$  und  $180^\circ$ . Die Querkomponenten  $M_r$  sind aber entscheidend für den Nachweis der Kernresonanz-Signale, denn die Empfängerspule ist in der  $y$ -Achse angeordnet (Abb. 1-6). In ihr wird ein zu  $M_r$  proportionales Signal induziert. Bei einem  $90^\circ$ -Impuls ist dieses Signal maximal, beim  $180^\circ$ -Impuls kann dagegen kein Signal beobachtet werden.

Ohne auf Einzelheiten und auf die Meßmethode einzugehen, verdeutlicht dies folgendes Experiment: Gemäß Gleichung (1-14) kann man den Impulsinkel vergrößern, indem man die Amplitude der Impuls-Komponente  $B_f$  erhöht oder die Impulslänge  $r_p$  verlängert. Für das in Abbildung 1-10 wiedergegebene Experiment haben wir  $B_f$  konstant gelassen und die Impulslänge  $r_p$  in Schritten von  $1 \mu\text{s}$  vergrößert; das registrierte Signal ist jeweils abgebildet. Die Signalamplitude durchläuft bei  $r_p$ -Werten von ungefähr 7 bis  $9 \mu\text{s}$  ein Maximum, sie nimmt dann wieder ab und ist bei  $r_p = 15$  bis  $16 \mu\text{s}$  ungefähr Null. Das Maximum entspricht einem Impulsinkel von  $90^\circ$ , beim Nulldurchgang beträgt der Impulsinkel  $180^\circ$ . Damit ist auch gezeigt, daß die für einen  $90^\circ$ -Impuls notwendige Zeit  $r_p$  verdoppelt werden muß, um einen  $180^\circ$ -Impuls zu erzeugen.

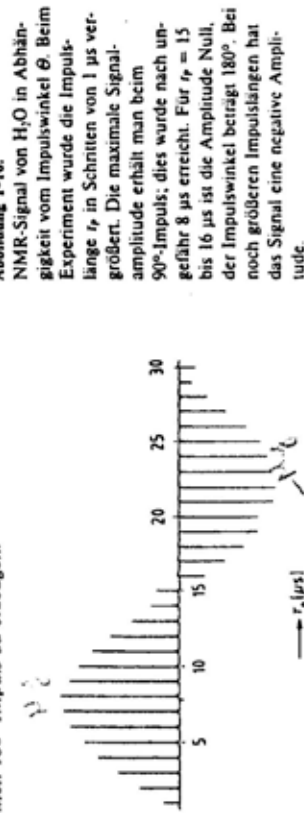


Abbildung 1-10.

NMR-Signal von  $\text{H}_2\text{O}$  in Abhängigkeit vom Impulsinkel  $\theta$ . Beim Experiment wurde die Impulslänge  $r_p$  in Schritten von  $1 \mu\text{s}$  vergrößert. Die maximale Signalamplitude erhält man beim  $90^\circ$ -Impuls; dies wurde nach ungefähr  $8 \mu\text{s}$  erreicht. Für  $r_p = 15$  bis  $16 \mu\text{s}$  ist die Amplitude Null, der Impulsinkel beträgt  $180^\circ$ . Bei noch größeren Impulslängen hat das Signal eine negative Amplitude.

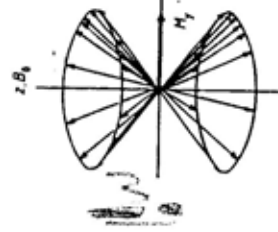


Abbildung 1-11.

Anschauliches Bild der Phasenkohärenz: Nach einem  $90^\circ$ -Impuls präzidiert ein eingezeichnetes Element allein - Keine Gebündelung, in Phase, um die Feldrichtung  $z$ .

### 1.5.2.2 Relaxation

Der Magnetisierungsvektor  $M_0$  sei nach Abschalten des Impulses um  $\theta$  in der  $y,z$ -Ebene aus der Gleichgewichtslage ausgelenkt.  $M_0$  beginnt jetzt wie die Einzelspins mit der Larmor-Frequenz  $v_l$  um die  $z$ -Achse zu präzidieren, wobei seine Orientierung im Raum immer durch die drei (mit der Zeit  $t$  variierenden) Komponenten  $M_x$ ,  $M_y$  und  $M_z$  festgelegt ist (Abb. 1-12). Durch Relaxation kehrt das Spinsystem wieder in den Gleichgewichtszustand zurück. Dabei wächst  $M_z$  wieder auf  $M_0$  an, und  $M_x$  und  $M_y$  gehen gegen Null. Bloch hat diese Vorgänge mit zwei verschiedenen Relaxationszeiten  $T_1$  und  $T_2$  beschrieben, wobei er annahm, daß die Relaxationsprozesse nach 1. Ordnung ablaufen:

$$\frac{dM_z}{dt} = -\frac{M_z - M_0}{T_1} \quad (1-15)$$

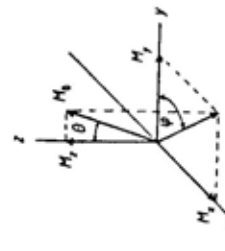


Abbildung 1-12.

Der makroskopische Magnetisierungsvektor  $M_0$  wurde unter der Einwirkung eines Impulses um den Winkel  $\theta$  aus seiner Gleichgewichtslage herausgedreht und präzidiert anschließend mit der Larmor-Frequenz  $v_l$ . Im ortsfesten Koordinatensystem hat  $M_0$  zur Zeit  $t$  die Koordinaten  $M_x$ ,  $M_y$ , und  $M_z$ .

$T_1$  ist die Spin-Gitter- oder longitudinaler Relaxationszeit,  $T_2$  ist die Spin-Spin- oder transversale Relaxationszeit.

Die reziproken Relaxationszeiten  $T_1^{-1}$  und  $T_2^{-1}$  entsprechen den Geschwindigkeitskonstanten für die beiden Relaxationsprozesse. Im feststehenden Koordinatensystem ist die Bewegung des Magnetisierungsvektors  $M_0$  schwer darzustellen. Daher verwendete Bloch bei seiner klassischen Behandlung des Kernresonanz-Phänomens ein mit der Larmor-Frequenz rotierendes Koordinatensystem  $x'$ ,  $y'$ ,  $z$ . Folgendes Beispiel zeigt, daß sich in diesem die